УДК 658.011.56:621.979.001.57

АВТОМАТИЗАЦИЯ ПРОЕКТИРОВАНИЯ И МОДЕЛИРОВАНИЕ РАБОТЫ ПНЕВМОПРИВОДОВ СРЕДСТВ АВТОМАТИЗАЦИИ КУЗНЕЧНО-ШТАМПОВОЧНЫХ МАШИН И КОМПЛЕКСОВ

Володина Ольга Анатольевна

Студентка 5 курса, магистр 1 года, Кафедра «Системы пластического деформирования» Московский Государственный Университет «СТАНКИН»

Научный руководитель: А.М.Смирнов, Кандидат технических наук, профессор кафедры «Системы пластического деформирования»

Пневматические приводы получили широкое применение при автоматизации производственных процессов в общем машиностроении и станкостроении, в транспортном и полиграфическом машиностроении, в литейном и кузнечном производстве[1,2].

Пневмоустройства используют в качестве приводов зажимных и транспортирующих механизмов. В первом случае привод называется силовым и используется, например, в робототехнике в схватах манипуляторов, во втором случае привод называется кинематическим.

По сравнению с другими индивидуальными приводами широкое применение пневмоприводов объясняется такими их преимуществами как, надёжность функционирования, простота конструкции, сравнительная лёгкость их эксплуатации и ремонта. Они относительно дёшевы и являются гибким средством при автоматизации производственных процессов, обеспечивая воспроизведение поступательного движения без каких-либо передаточных механизмов.

Минусы связаны с ограничениями по создаваемым технологическим силам.

В кузнечно-штамповочном производстве пневматические приводы работают с высокими скоростями и при этом должны обеспечивать высокую точность позиционирования.

Одним вопросов, решаемых проектировании ИЗ важных при пневмоприводов (особенно приводов перемещения) является гашение скорости к концу хода. Это обеспечивается применением резиновых прокладок или пружин, воспринимающих удар в конце хода поршня, или повышением давления в полости противодавления так же в конце хода. Но пружин приводит к применение прокладок и снижению позиционирования заготовки из-за отскока поршня и связанных с ним масс при упругом ударе. Поэтому в быстродействующих приводах для гашения скорости используют метод повышения давления, который может быть осуществлен двумя способами:

- использованием тормозных золотников;
- использованием дроссельных устройств (внутренних тормозных устройств).

На рис. 1 представлена обобщенная структурная схема привода, которая включает силовой цилиндр и аппаратуру управления.

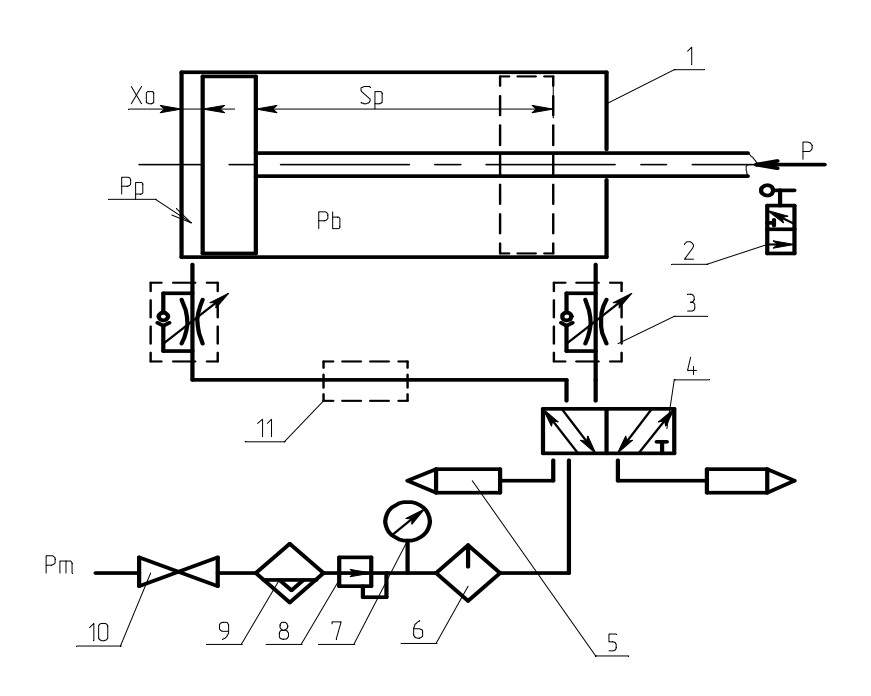


Рис.1 Структурная схема пневмопривода (1 - цилиндр; 2 – конечный выключатель; 3 – дроссель; 4 – воздухораспределитель; 5 – глушитель; 6 – маслораспылитель; 7 – манометр; 8 – регулятор давления; 9 – маслораспылитель; 10 – кран; 11 – тормозной золотник)

Высокая производительность автоматизированного кузнечноштамповочного оборудования предъявляет повышенные требования к быстродействию приводов. Поэтому применяемые методы приближенных расчетов времени цикла не всегда удовлетворяют требования заказчика. Кроме того, на точность расчета оказывает влияние и достоверность сведений о фактических размерах и массах подвижных частей.

В задачу настоящей работы входило:

- 1. Разработка алгоритма расчёта и проектирования пневмопривода.
- 2. Подготовка программы на языке C++ по расчёту времени цикла работы пневмопривода с учетом фактических размеров силовых цилиндров и параметров аппаратуры управления.

Для анализа динамики привода с учетом фактических физических характеристик деталей пневмоцилиндра были использование параметрические 3D-модели деталей, примеры которых приведены на рис.2. В качестве графического пакета использовался TFLEX CAD 3D. Разработка параметрических моделей деталей тормоза основывалась на известных методиках проектировочных и проверочных расчетов деталей [1,2]. Также использовались эмпирические зависимости, полученные на основании

анализа существующих конструкций пневматических цилиндров, на базе которых были созданы 3D модели деталей и сборочного узла.

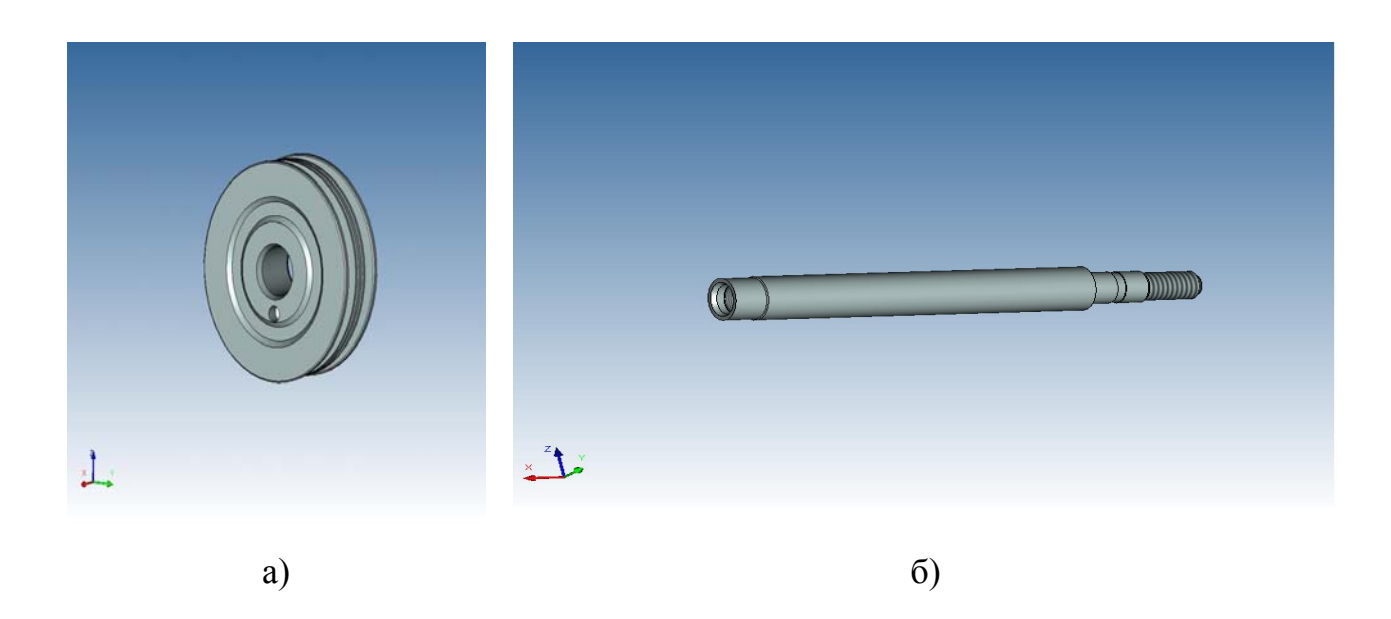


Рис.2 Параметрические 3D-модели деталей «поршень» (а) и «шток» (б)

Алгоритм расчёта и проектирования пневмопривода включает следующие модули:

- Модуль «формирование исходных данных» (разработка системы объекта; уточнение структуры элементов объекта в соответствии с обобщенной скелетной схемой, показанной на рис.3. и определение взаимосвязи между элементами структуры объекта создание необходимой базы данных стандартных элементов).
- Модуль « расчёт конструктивных параметров» (определение расчётного диаметра цилиндра, расчёт размеров трубопроводов и проходных сечений отверстий подводящей и выхлопной магистралей)
- Модуль « динамические расчёты» (определение параметров движения, давления в рабочей полости и полости подпора, сил активного сопротивления, составляющих времени цикла и построение графиков переходных процессов)
- Модуль « формирование исходных данных для создания рабочих чертежей» (в редактор переменных рабочих чертежей и сборочного узла передаются уточненные параметры системы пневмопривода, а также уточненная схема привода)

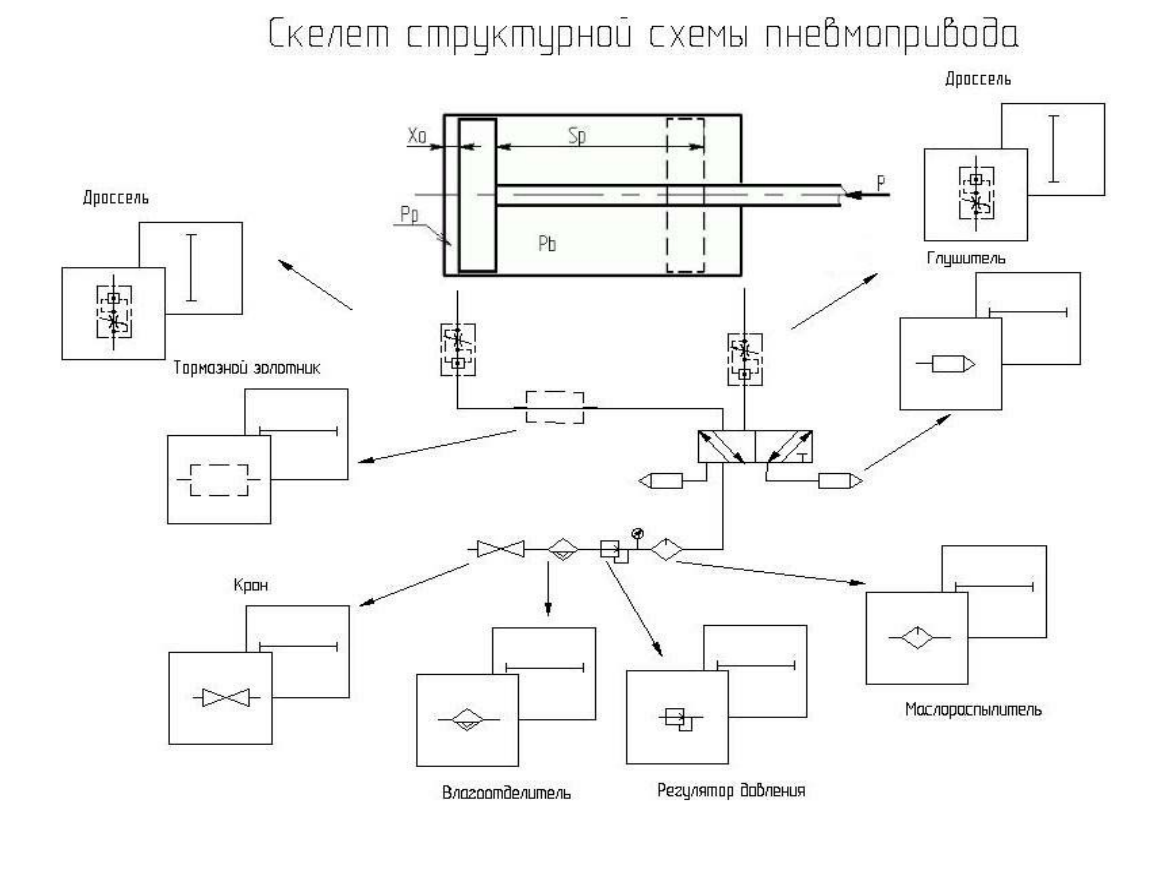


Рис.3. Обобщенная скелетная схема системы управления приводом

При разработке математической модели были использованы следующие зависимости:

1. Основным параметром исполнительного устройства привода является диаметр силового цилиндра, который либо задается проектантом, либо определяется в соответствии с практическими рекомендациями:

(1),

$$d_{u} = \sqrt{\frac{4P_{r}}{\pi\eta p_{p}}}$$

где p_r — нагрузка, приведенная к штоку поршня; p_r — конструктивный параметр, соответствующий работе привода в оптимальном режиме; p_r — давление воздуха в наполнительной магистрали.

2. Диаметр проходного сечения трубопроводов также либо задается проектантом, либо рассчитывается с учетом принятых ограничений по скорости перемещения выходного звена исполнительного механизма и времени движения:

$$d_{\rm rp} = \sqrt{\frac{u_o d_u^2}{10^4 \mu_e}} \tag{2}$$

где μ_{s} – коэффициент расхода, принимаемый на этапе предварительных расчетов равным 0,25–0,30;

 u_o — скорость движения подвижных частей, определяемая из выражения:

$$u_o = \frac{(1+k_1)S_p}{t_p} \tag{3}$$

где $\mathbf{k_{l}}$ — коэффициент, учитывающий условия разгона и торможения; $\mathbf{s_{p}}$ — рабочий ход поршня;

 t_{p-} ограничение по времени, обусловленное частотой ходов кузнечно-штамповочной машины.

По размеру проходного сечения подбирается конкретная модель элементов аппаратуры управления.

3. Динамические расчёты проводят с использованием уравнений теплового баланса в рабочей полости (4) и полости подпора (5) и обобщенного уравнения движения (6).

$$p_{pi} = p_{pi-1} + \frac{k}{\frac{W_{op}}{F_p} + x_{i-1}} \left(\frac{G_{pi}RT_p}{F_p} + p_{pi-1}u_{i-1} \right) \Delta t$$
(4),

где p_{pi-1} — значение текущего давления в рабочей полости; k—показатель адиабаты; p_{qp} — начальный объем рабочей полости; p_{p} — активная площадь поршня со стороны рабочей полости; p_{q} — газовая постоянная; p_{q} — температура воздуха в рабочей полости; p_{q} — скорость движения подвижных частей; p_{q} — принятый шаг приращения времени

при вычислительных процессах; \mathbf{x}_{i-1} — текущая координата положения поршня; \mathbf{G}_{pi} — расход воздуха, поступающего в рабочую полость.

$$p_{ei} = p_{ei-1} + \frac{k}{\frac{W_{oe}}{F_s} - x_{i-1}} \left(p_{ei-1} u_{i-1} - \frac{G_{ei} RT_s}{F_a} \right) \Delta t$$
(5),

где P_{ai-1} — значение текущего давления в полости подпора; W_{aa} — начальный объем полости подпора; F_{a} — активная площадь поршня со стороны полости подпора; G_{ai} — расход воздуха, выходящего из полости подпора; T_{a} — температура воздуха в полости подпора.

$$a_{i} = \frac{p_{pi}F_{p} - p_{si}F_{s} - C_{np}x_{i-1} - P_{T} - P_{Tp}}{m}$$

$$u_{i} = u_{i-1} + a_{i}\Delta t$$

$$x_{i} = x_{i-1} + u_{i}\Delta t + \frac{a_{i}\Delta t^{2}}{2}$$
(8),

где $^{C_{mp}}$ — приведенная жесткость механизма возврата одностороннего пневмопривода; $^{P_{T}}$ - тяговое усилие; $^{P_{TP}}$ — суммарное значение сил трения в уплотнениях; m — масса подвижных частей, приведенная к штоку.

Обобщённое уравнение движения применяется как для одностороннего так и для цилиндров двухстороннего действия. В первом случае будет отсутствовать слагаемое, соответствующее давлению в полости подпора. Во втором случае будет отсутствовать пружина, а следовательно $C_{np}x_{i-1}=0$.

Время хода поршня определяется по формуле:

$$t_x = t_a + t_b + t_h + t_{\partial b} + t_3 \tag{9}$$

где t_{\bullet} — время срабатывания аппаратуры управления, определяемое паспортными данными; t_{\bullet} — время распространения волны давления от распределителя до рабочей полости;

 t_{m} — время подъема давления до величины, достаточной для преодоления сил статического сопротивления; t_{dm} — время движения поршня;

 t_s — время заключительного периода, соответствующее подъему давления до заданного значения (определяется только для силовых пневмоприводов).

Составляющие времени t_n , t_n определяются путем совместного решения уравнений (4), (5), (6) при следующих ограничениях:

1. для времени наполнения:

$$a_i = u_i = x_i = 0$$
; $p_{pi}F_p < p_{ei}F_e + P_{T} + P_{Tp} + C_{np}x_o$

2. для времени движения:

$$x_i \leq S_p$$

3. для времени заключительного периода:

$$x_i = S_p$$
; $a_i = u_i = 0$; $p_{pi} \le p_{m}$

На основе предложенного алгоритма и математических моделей была разработана программа на языке Си++, позволяющая моделировать динамические процессы в пневмоприводе. На рис.4 представлены графики переходных процессов, происходящих в приводе.

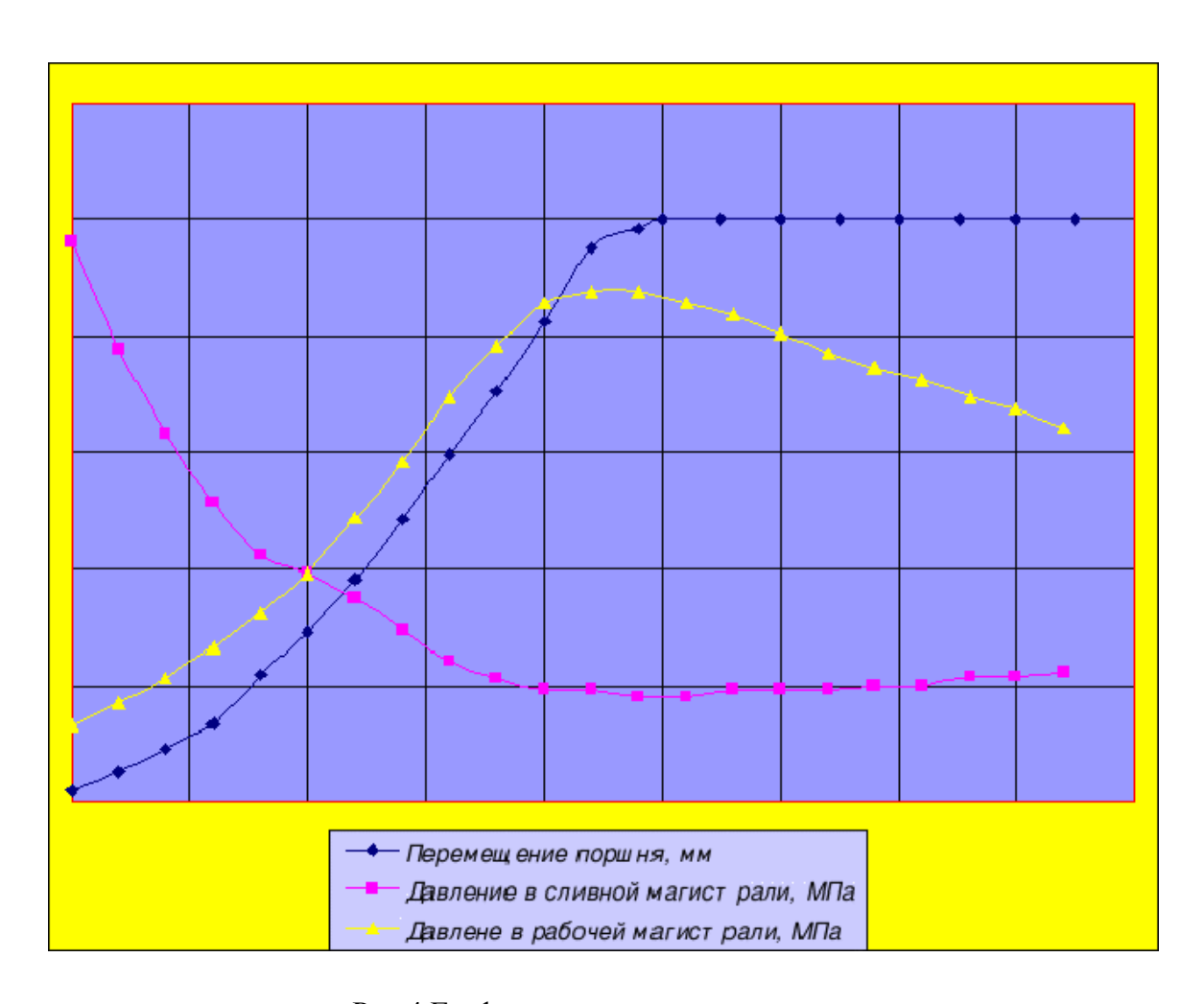


Рис.4 Графики переходных процессов

Всё проектирование при этом будет происходить в одной среде (в данном случае Windows), появляется возможность вводить дополнительные расчёты (например, проверочные формулы, позволяющие учитывать различные параметры, такие как трение и его влияние).

Выводы:

- 1. Предложен алгоритм расчёта и проектирования пневмопривода.
- 2. Разработана программа на языке С++ по расчёту параметров работы пневмопривода.

Литература

- 1. *Герц Е.В.*, *Крейнин Г.В.* Динамика пневматическх приводов машин-автоматов. М.: Машиностроение, 1964. 235 с.
- 2. *Смирнов А*.М., Автоматизация проектирования и моделирование работы средств автоматизации кузнечно-штамповочных машин и комплексов // «Кузнечно-штамповочное производство» 1993, №4 с.30-33.